

# Plateforme Vide & Surfaces: Présentation et applications

## Pôle Physique des accélérateurs

- Le contexte
- La plateforme Vide&Surfaces
- De nouveaux moyens de caractérisation de surfaces
- Exemples d'applications
- Conclusion

**Gaël SATTONNAY, Bruno MERCIER**





# CONTEXTE



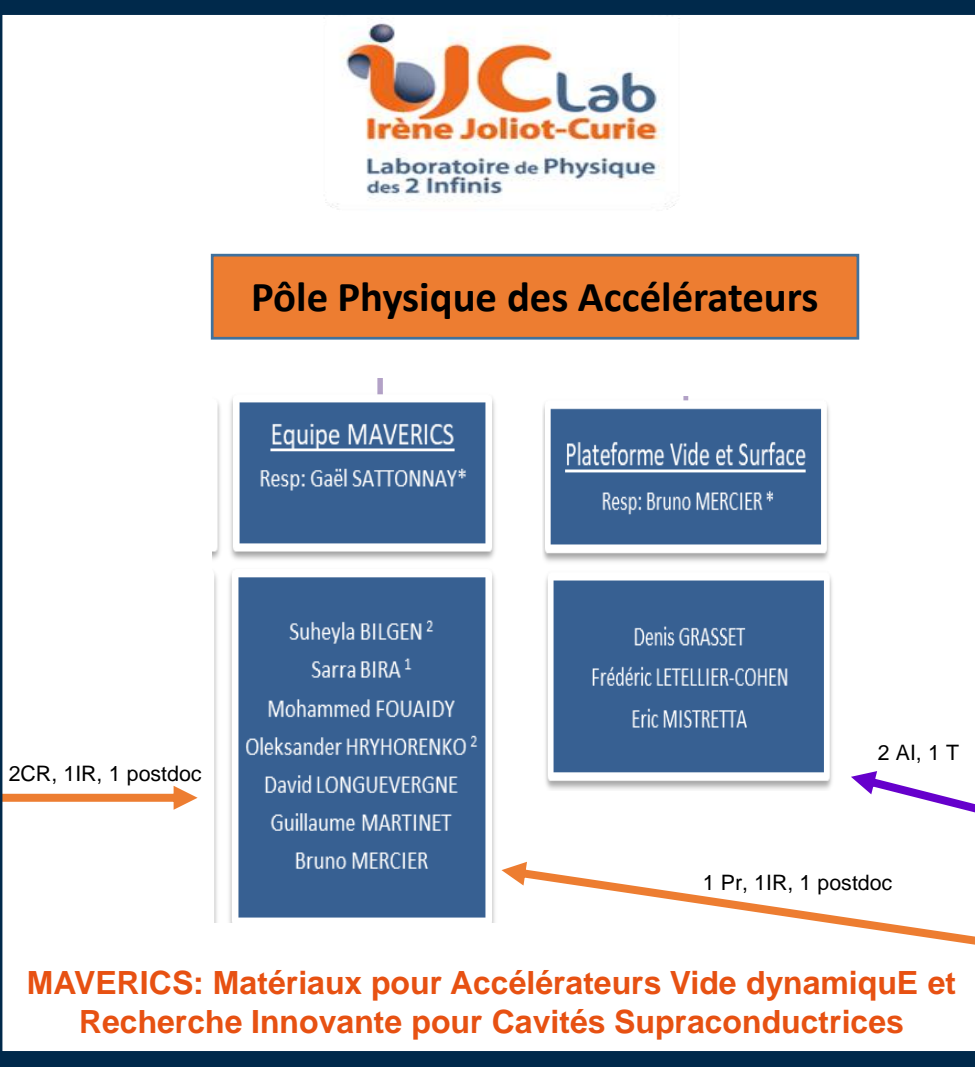
## Division Accélérateurs

### R&D Cavités & Cryogénie

G. Olry

S. Durand

S. Bira<sup>\*\*</sup>  
P. Duthil  
M. Fouaidy  
N. Candalic  
O. Hryhorenko<sup>\*\*</sup>  
D. Le Drean<sup>\*</sup>  
D. Longuevergne  
G. Martinet  
V. Sansinet<sup>\*</sup>  
H. Saugnac



## Département Accélérateurs

**Technologies Vide et surfaces**  
**Bruno Mercier\* (IR1)**

**Manuel Alves (TCE)**  
**Suheyla Bilgen (DOC)**  
**Denis Grasset (TCE)**  
**Fredéric Letellier-Cohen (AI)**  
**Eric Mistretta (AU)**  
**Gaël Sattonnay (MCF CN)**



# CONTEXTE

**Formation d'une équipe de recherche et d'une plateforme autour des problématiques matériaux pour accélérateurs (vide, surfaces)**

## ➤ Motivations

**Les performances fonctionnelles** (gradients accélérateurs, pertes RF, qualité faisceau, Ultra Vide,...) des composants (structures accélératrices, lignes faisceaux..) sont étroitement **liées aux propriétés des matériaux**

→ limites intrinsèques des matériaux utilisés actuellement sont atteintes

améliorer notre compréhension des phénomènes physiques limitatifs liés aux matériaux et de développer des nouveaux matériaux: traitements de surfaces, dépôt de couches minces,...

## ➤ Plateforme Vide et surfaces

### Objectifs:

- maintenir, acquérir et adapter les moyens d'analyse de surfaces pour répondre aux mieux aux problématiques des matériaux pour accélérateurs (équipe MAVERICS)
- maintenir et développer une expertise sur des projets ultravide (UHV)



# CONTEXTE

## MAVERICS : Thématiques de recherche

But : Améliorer les performances des accélérateurs de particules de haute énergie



Propriétés supraconductrices  
des surfaces

Vide dynamique  
Interactions rayonnement-surfaces



Cavités SRF

Lignes faisceaux / chambres à vide

Augmenter les gradients accélérateur  
Réduire les pertes RF

Limiter  
le multipacting

Limiter  
les augmentations de pression



Traitements  
de surface

Niobium massif : thermique, dopage/  
infusion N, polissage  
(Projets HELOISE et PACCAS du MP SRF)

Traitements thermiques  
Conditionnement des surfaces  
Nettoyage plasma, UV

Traitements  
de surface

Couches  
minces

Matériaux alternatifs :  
multicouches supraconductrices S-I-S  
(Projet AXE SRF du MP SRF)

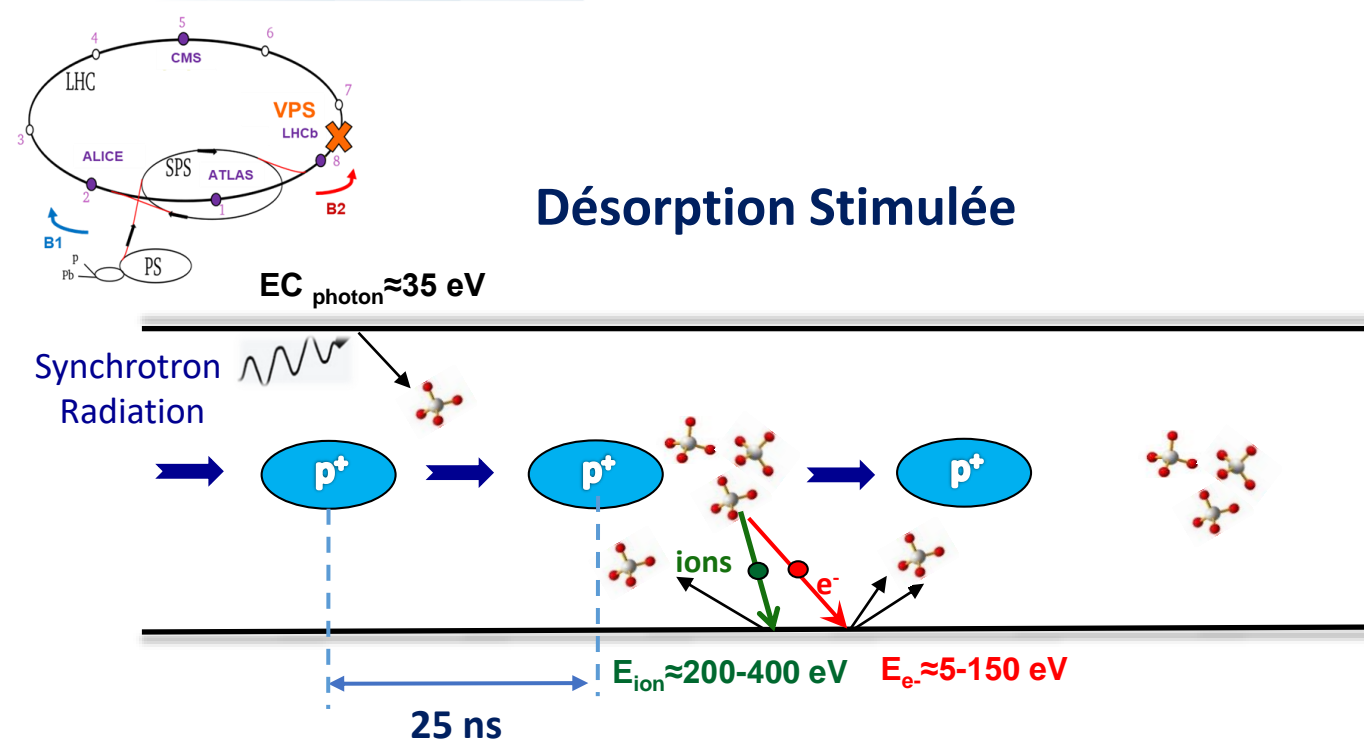
TiN, Carbone amorphe, NEG  
(Projet MULTIPAC du MP SRF + CNRS 80PRIME)

Couches  
minces

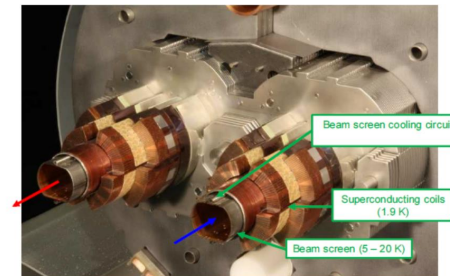
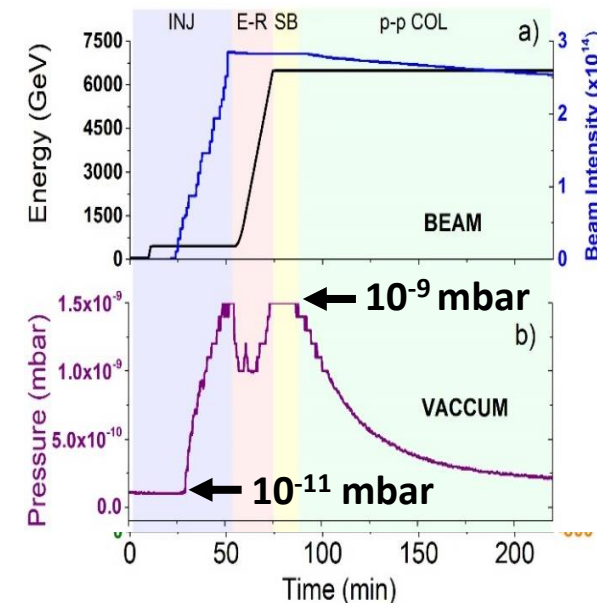
→ Analyses de surface des matériaux → Plateforme Vide et Surfaces



# Contexte : l'exemple du LHC

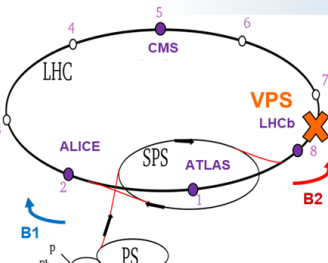


Evolution du vide dynamique dans le LHC  
(station 4 du VPS)

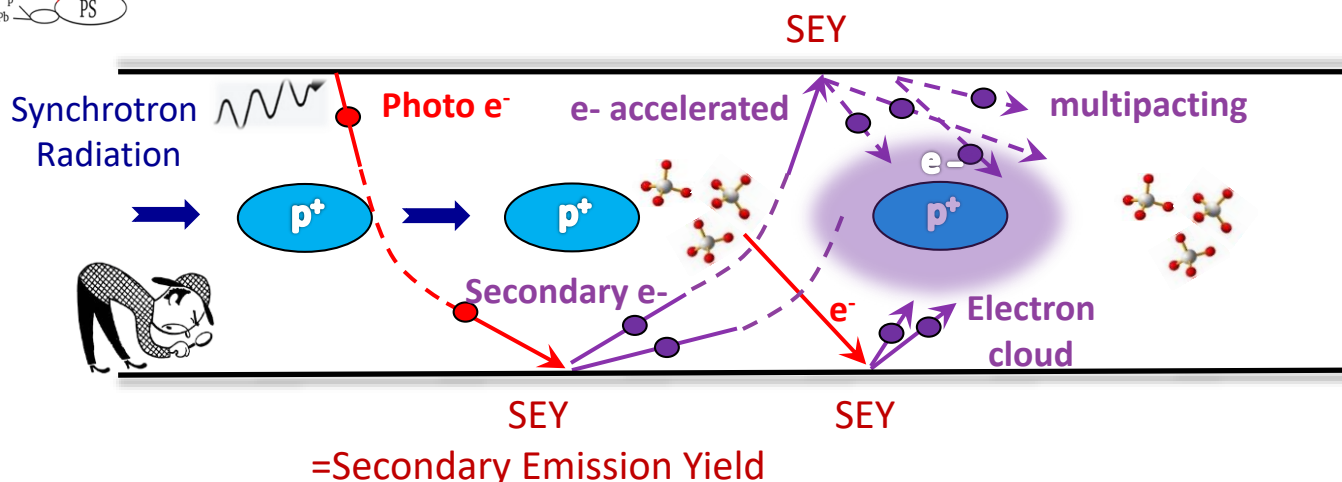




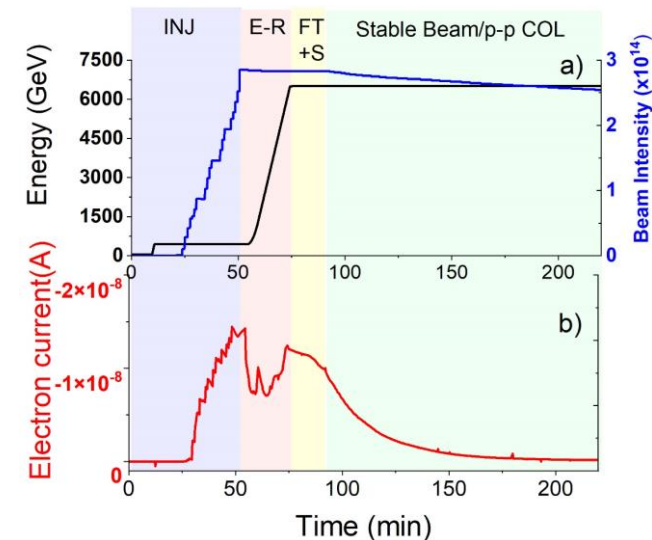
# Contexte : l'exemple du LHC



## Création de particules secondaires



Evolution du courant d'électrons dans le LHC  
(station 4 du VPS)



All of these phenomena may limit the performance of the LHC

2018 LHC RUN 2  
13 TeV, 2556 b,  $1.1 \times 10^{11}$  ppb

NOMINAL PARAMETERS LHC  
14 TeV, 2808 b,  $1.2 \times 10^{11}$  ppb

:

Main objectives

→ Mitigation of detrimental collective effects inside the beam lines

→ Influence of the surface chemistry on these phenomena + modification of the surface chemistry under irradiation



# Plateforme Vide&Surfaces

## Expertise en vide

### Calculs et Simulations

### Moyen d'analyses UHV

- Spectrométrie de masse
- Mesure de taux de dégazage
- Mesure du taux d'émission électronique secondaire (SEY)...

### Mise en œuvre installations UHV / dépôts

- Traitements thermiques et chimique
- brasage fort
- Dépôt NEG / TIN

### Enseignement / Formation

## Moyens de caractérisation des matériaux et des surfaces

Informations: Structurales topographique: Composition:

- Diffractomètre à rayons X couches minces (DRX)
- spectrométrie des ions secondaires (SIMS)
- microscope confocal



### nouveaux équipements

En 2021

- microscope électronique à balayage(MEB) + microanalyse (EDS) + diffraction des électrons (EBSD) (Finance Région)
- Récupération d'un bâti multi techniques d'analyses (XPS, RHEED)



En 2022/23 (equipex PACIFICS)

- spectromètre de photoélectrons (XPS de routine)
- Bâti multi techniques d'analyses à froid (XPS, SEY)

Regroupement de tous les équipements dans les Halls D3 et D4 (420m<sup>2</sup>) après leur réhabilitation (début 2022)



Bât. 209C  
Hall D3 D4 de l'IGLEX (CPER)



# De nouveaux moyens de caractérisation

## Microscope électronique à Balayage

Sesame idf (IRFU CEA + IJCLAB) +  
ERM université Paris Saclay

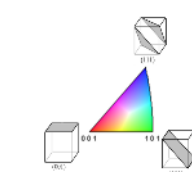


Canon à effet de champ

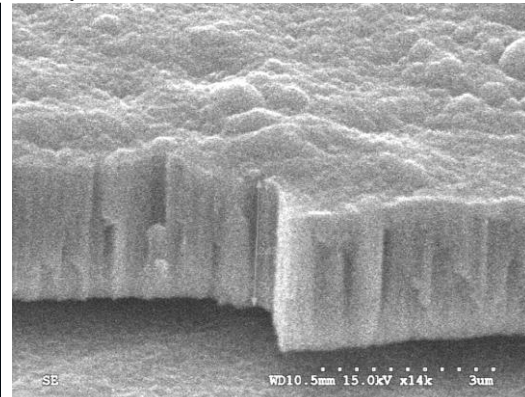
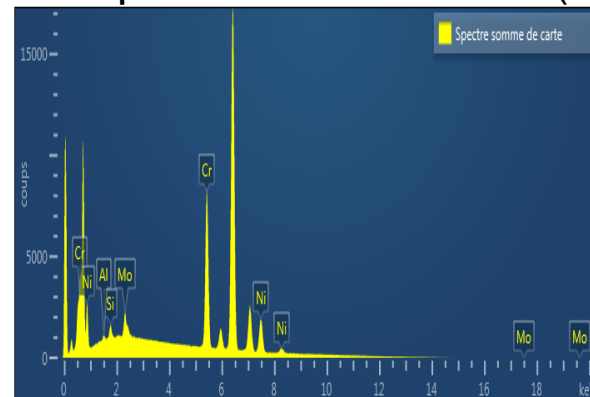
HT 0.1 to 30 kV

Résolution latérale 1,1 nm à 20 kV

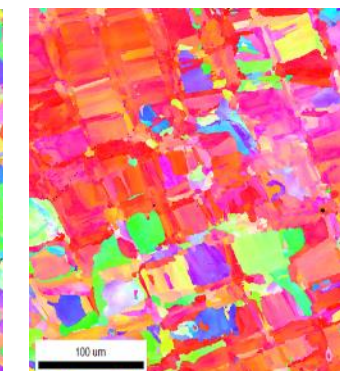
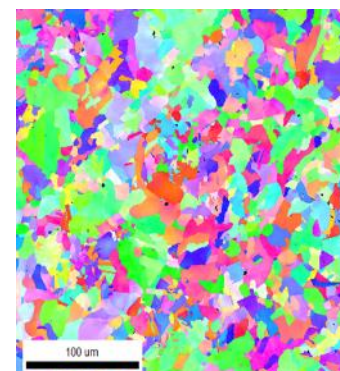
Courant de sonde : 4 pA à 100 nA



- Composition élémentaire (EDS)
- Fonctionnel depuis juin 2021
- Imagerie

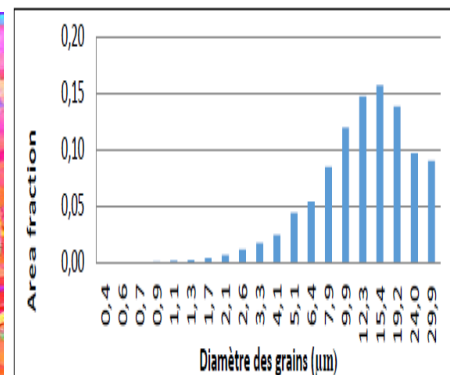


- Information structurale (EBSD)



Pas de texture

texture (001)

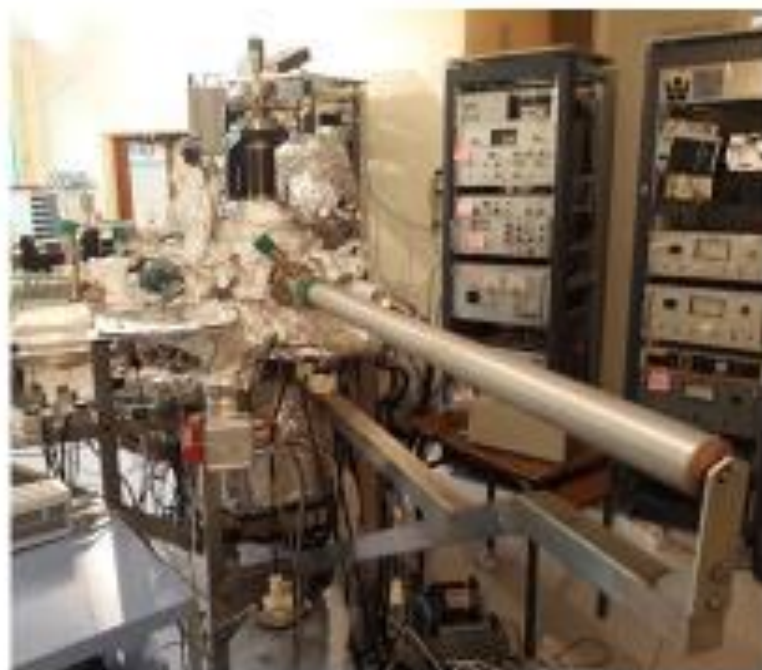




## Set up ISIS: Bâti multi-techniques

Récupération en 2022  
au laboratoire ICMMO  
(financement propre)

- Caractérisation de la chimie et de la structure de surface (~ 10 nm)



- spectroscopie de photoélectrons (XPS),
- spectroscopie de rétrodiffusion d'ions (ISS)
- diffraction des électrons lents (LEED).
- Traitements disponibles :
  - nettoyage par bombardement ionique,
  - traitements thermiques [1070 K]
- Etude de l'activation in situ de dépôts NEG



# De nouveaux moyens de caractérisation

## spectrométrie des photoélectrons (XPS)

- Caractérisation de la chimie de surface (~10 nm)

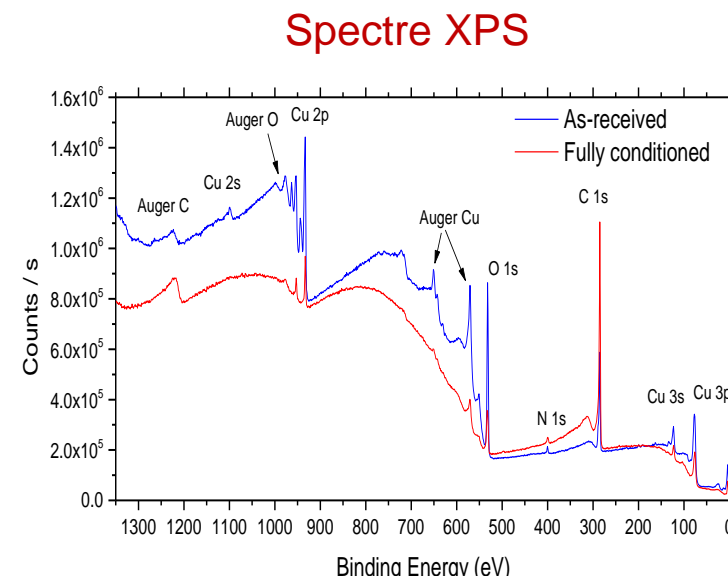
XPS de routine en 2022/2023



Taille faisceau X de 30 à 400 µm  
Canon à ion (100eV à 4 KeV)

Détecteur

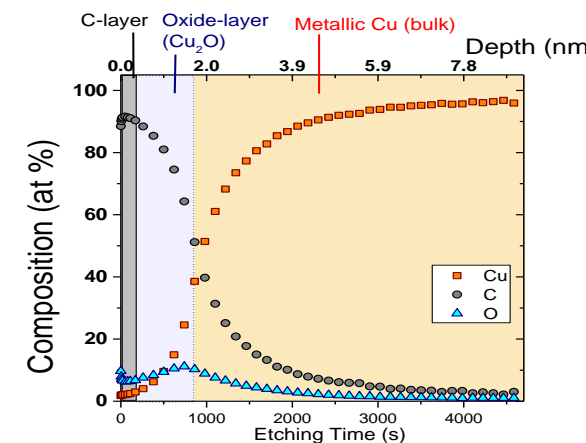
Energie de passage de 1 à 400 eV  
Pas minimum de 3 mev



EquipEx+  
PACIFICS



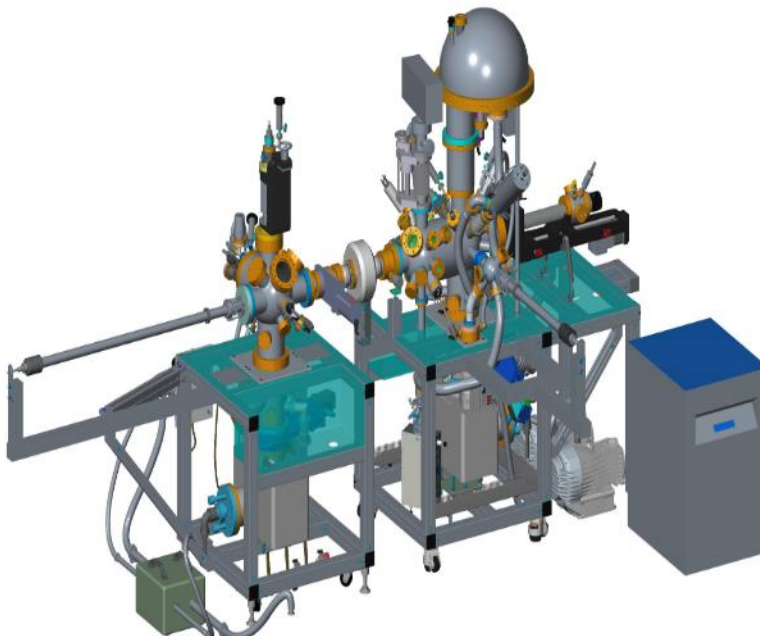
Profil de concentration





En 2022/2023

## Bâti multi techniques à froid



- Porte échantillon 5 axes Température < 7K
- Mesure de l'émission électronique secondaire (SEY)
- Spectrométrie des photoélectrons (XPS)
- Analyse structural par diffraction (LEED)
- Canon à ions (abrasion des surfaces)
- Analyseur de gaz résiduel

**EquipEx+  
PACIFICS**

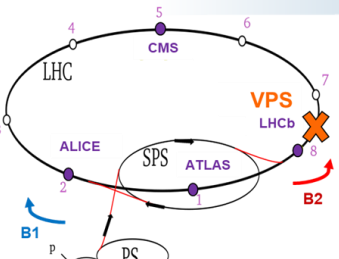




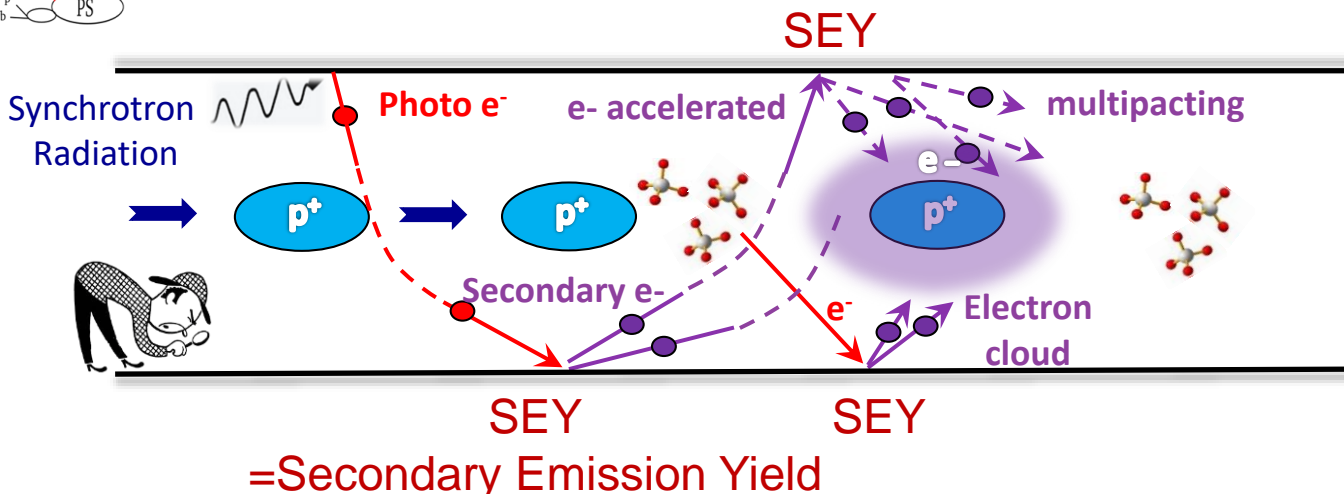
## **Exemples d'applications et de développement**



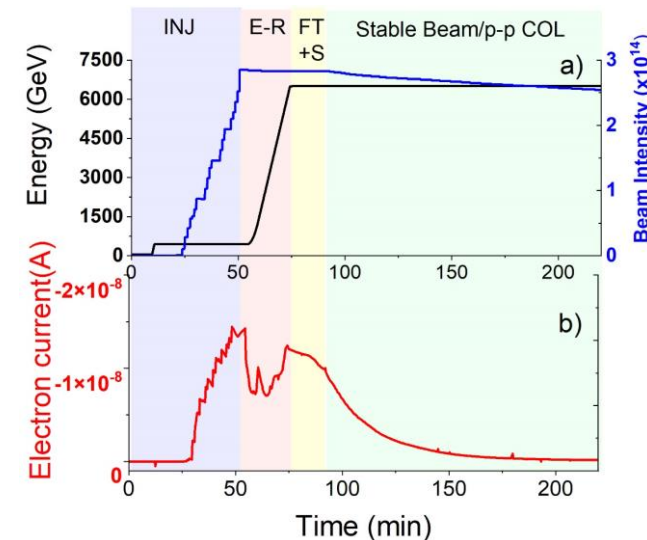
# Contexte : l'exemple du LHC



## Création de particules secondaires



## Evolution du courant d'électrons dans le LHC (station 4 du VPS)



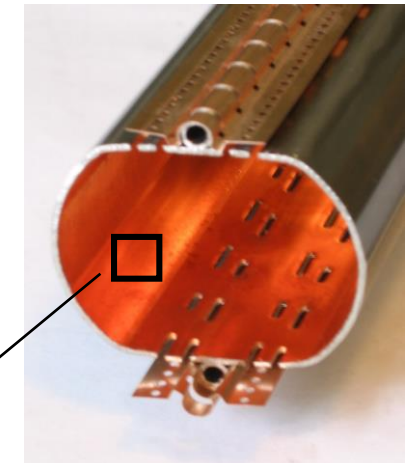
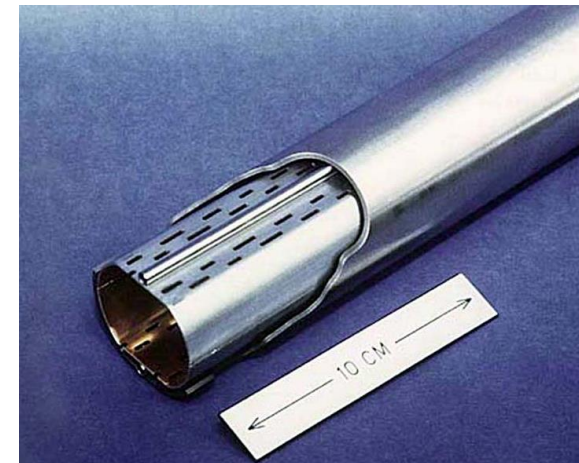
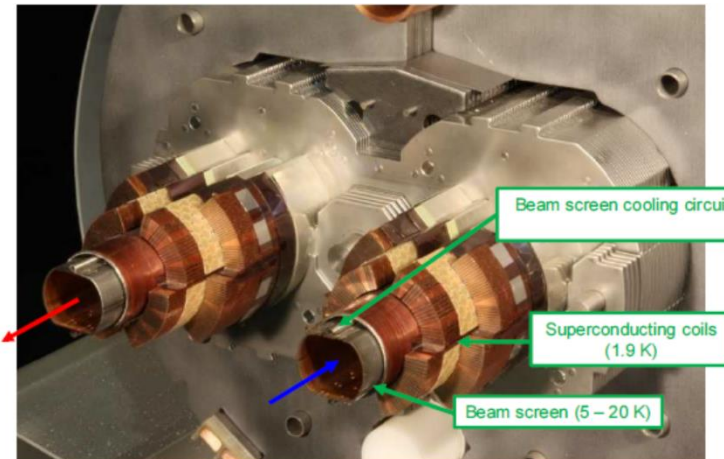
All of these phenomena may limit the performance of the LHC : 2018 LHC RUN 2  $13 \text{ TeV}, 2556 \text{ b}, 1.1 \times 10^{11} \text{ ppb}$  vs NOMINAL PARAMETERS LHC  $14 \text{ TeV}, 2808 \text{ b}, 1.2 \times 10^{11} \text{ ppb}$

### Main objectives

- Mitigation of detrimental collective effects inside the beam lines
- Influence of the surface chemistry on these phenomena + modification of the surface chemistry under irradiation

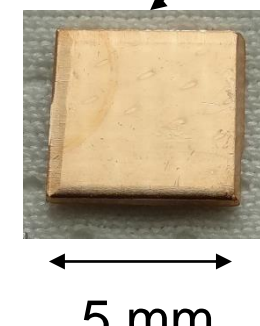


# LHC beam screen samples



Oxygen-Free Electronic copper colaminated onto stainless steel.

OFE copper = 99.99% pure copper with 0.0005% oxygen content  
to avoid undesirable chemical reactions with other materials

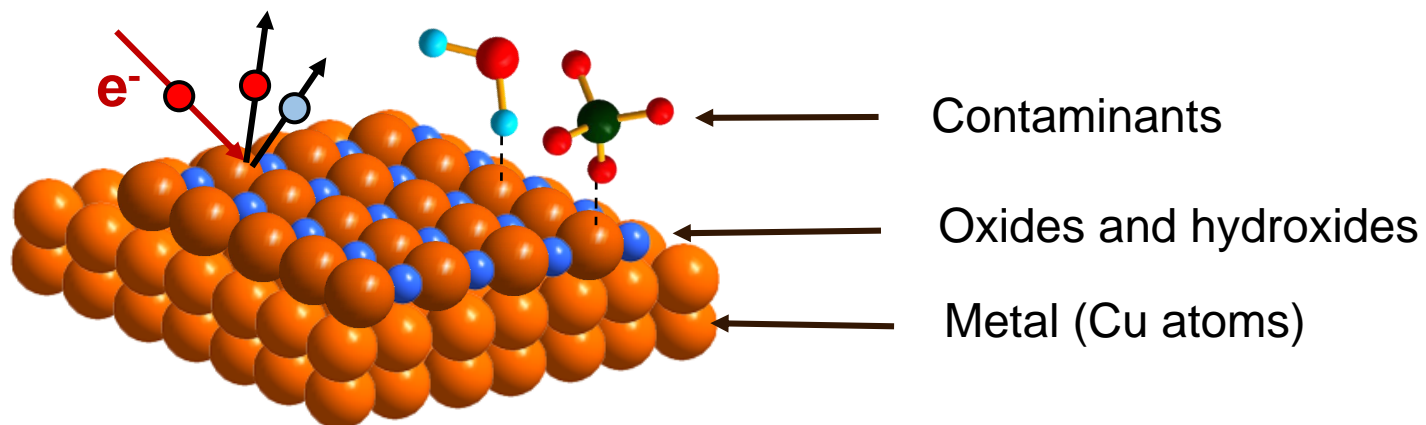


- high electric conductivity
- high thermal conductivity
- low outgassing rate
- non-magnetic material

dimensions: 5 x 5 x 2 mm thick from the CERN's stock.



# Analysis of technical surfaces



- there are **always contaminants** deposited on the surface + native oxide layers ( $\text{Cu}_2\text{O}$  et  $\text{Cu}(\text{OH})_2$ )
- investigated surfaces in accelerators are **technical surfaces** (and not pure Cu surfaces)

- Rôle du carbone (via les molécules hydrocarbonées initialement présentes) ?
  - Rôle des oxydes/hydroxydes natifs de cuivre ?
- Sur le SEY**

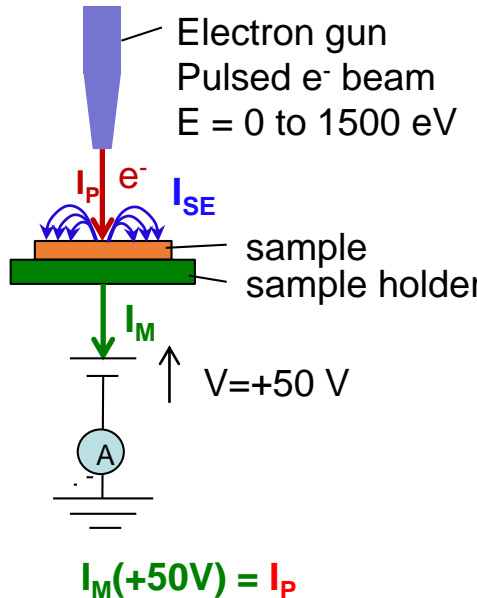


# SEY measurements and conditioning in lab

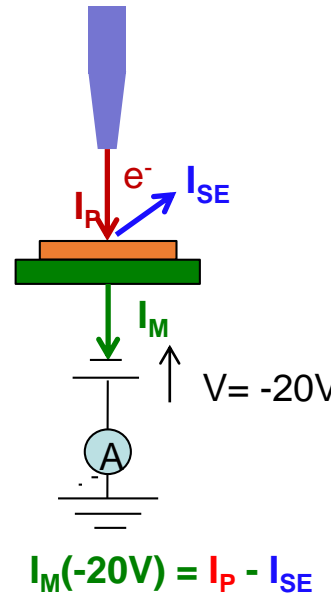


- base pressure:  $5 \times 10^{-10}$  mbar
- pulsed electron beam
- energy range 10 to 1500 eV
- During measurement  $I = 1 \mu\text{A}$
- During conditioning:  $I = 5 \mu\text{A}$
- SEY error (about 10%), since elastically backscattered electrons can escape
- beam spot 2.8 mm in diameter during conditioning

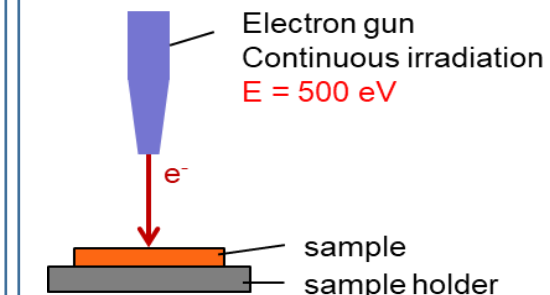
## SEY measurements



$$SEY : \frac{\delta}{1 - \frac{I_M(-20V)}{I_M(+50V)}}$$



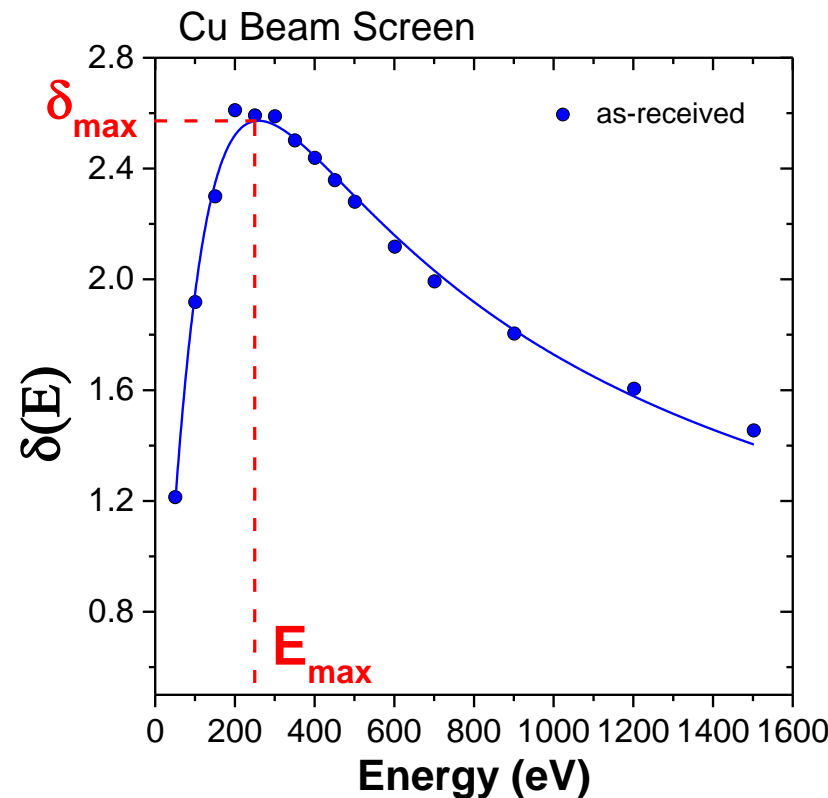
## Conditioning by $e^-$ irradiation





## SEY measurements : copper beam screen

$$\text{SEY} = \frac{\text{number of SE}}{\text{incident } e^-}$$

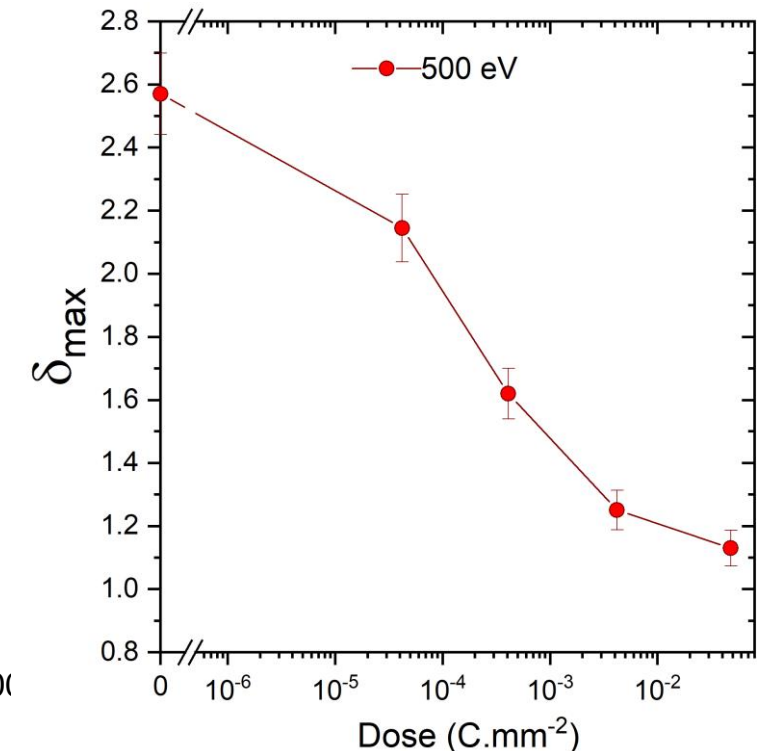
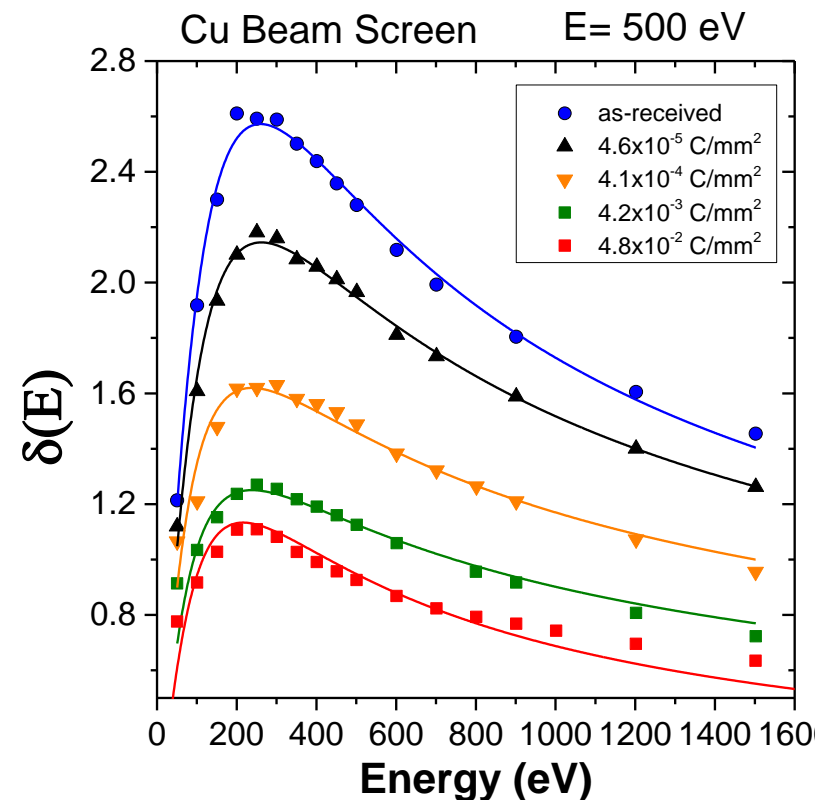


$$\delta(E) = \delta_{max} \frac{s * \left(\frac{E}{E_{max}}\right)}{s - 1 + \left(\frac{E}{E_{max}}\right)^s}$$

[Scholtz et al J of Research, 1996]



# SEY measurements : copper beam screen



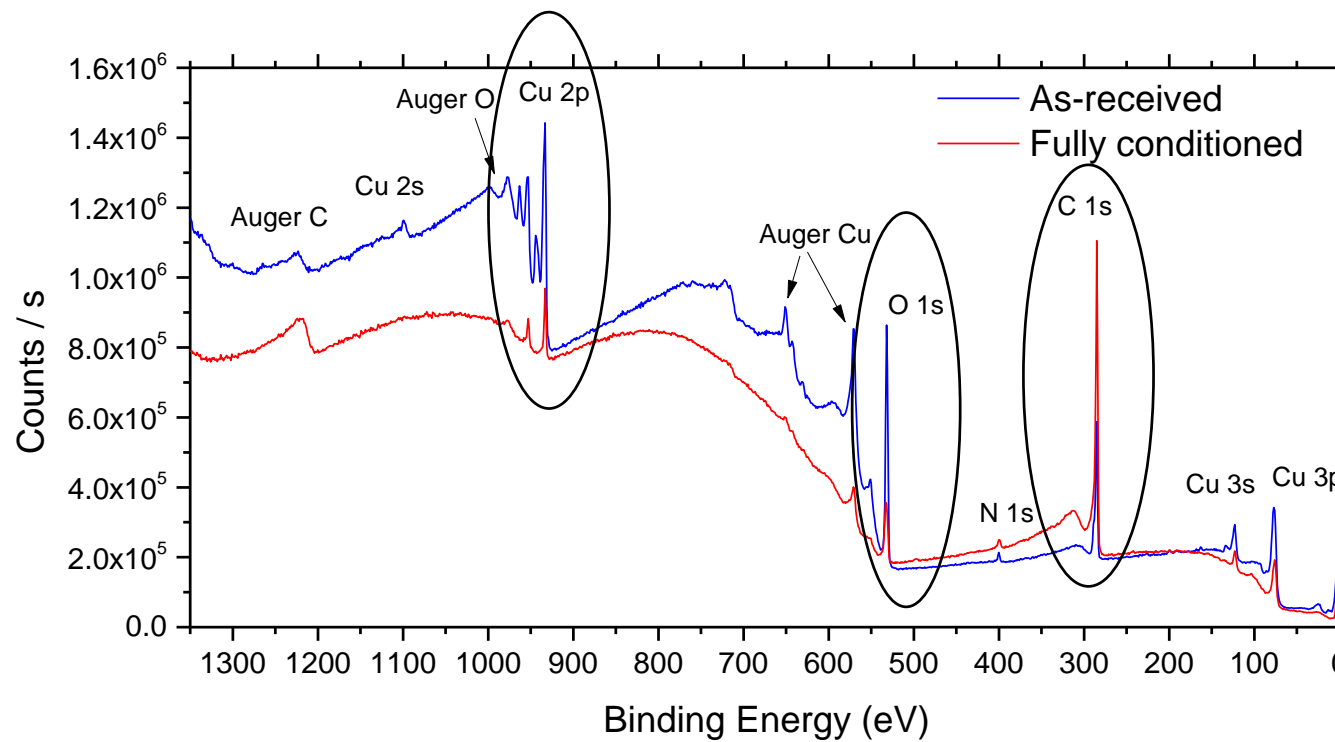
$\delta(E)$  decreases with increasing electron dose

in agreement with the literature e.g [R. Cimino et al J. of Electron Spectr. Related Phenomena, 2020]



# XPS analysis

## X-ray Photoelectron Spectroscopy

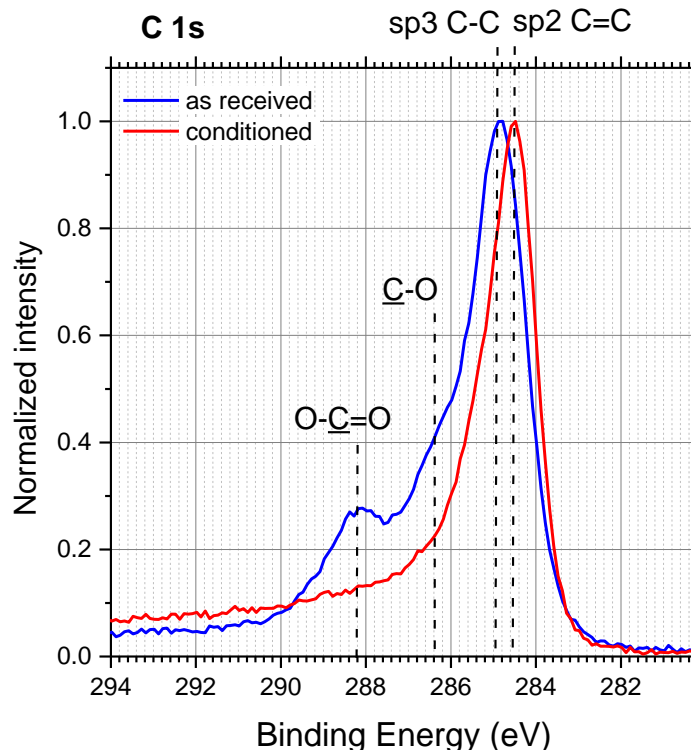


We are mainly interested in the chemical modifications of Cu, O and C induced by e- irradiation  
(main elements detected on the copper surface).



# Carbon evolution?

## XPS (ICMMO)



Adventitious carbon (C-O, O-C=O) is removed by electron irradiation

Modification of the C hybridization induced by electron irradiation

Shift from C-C bonds (sp<sub>3</sub>) to C=C bonds (sp<sub>2</sub>)

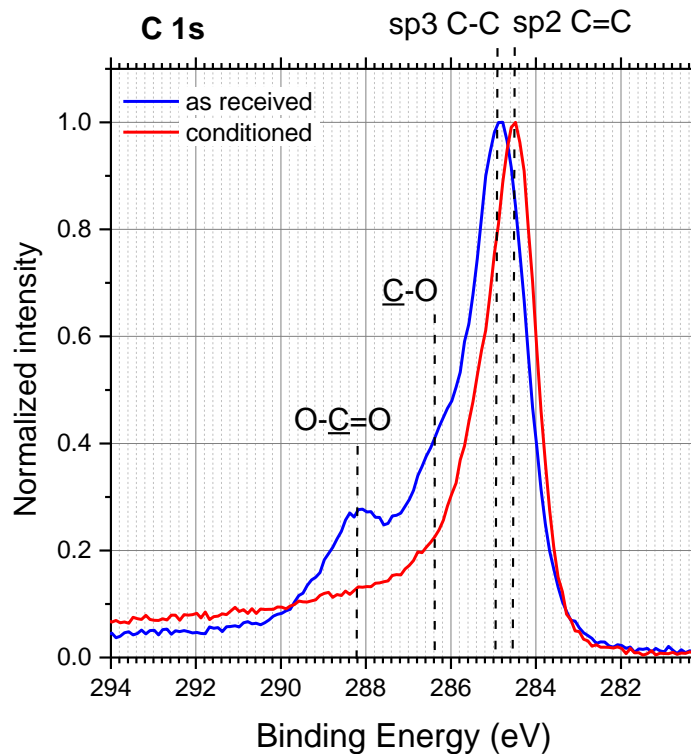
→ in agreement with the literature [R. Cimino et al, 2020]

→ For the first time, this phenomenon was investigated by TOF-SIMS (plateform ANDROMEDE/IJClab)



# Carbon evolution?

## XPS (ICMMO)

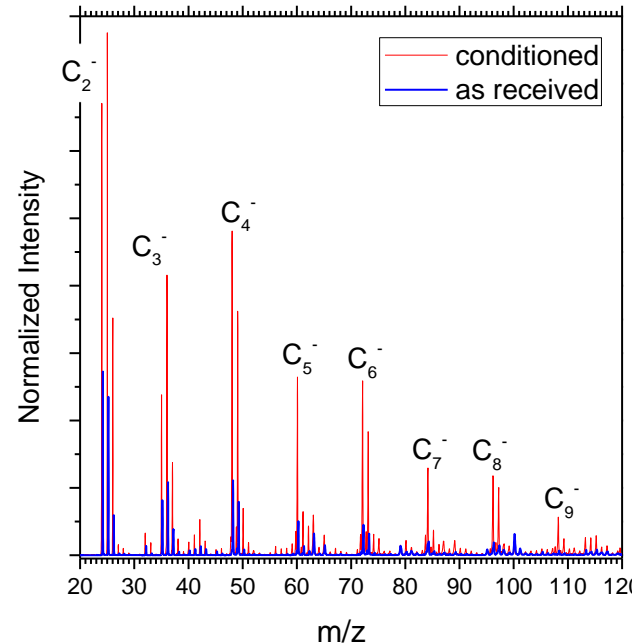


XPS : Modification of the C hybridization : from C-C bonds (sp<sub>3</sub>) to C=C bonds (sp<sub>2</sub>) compatible with a graphite structure.

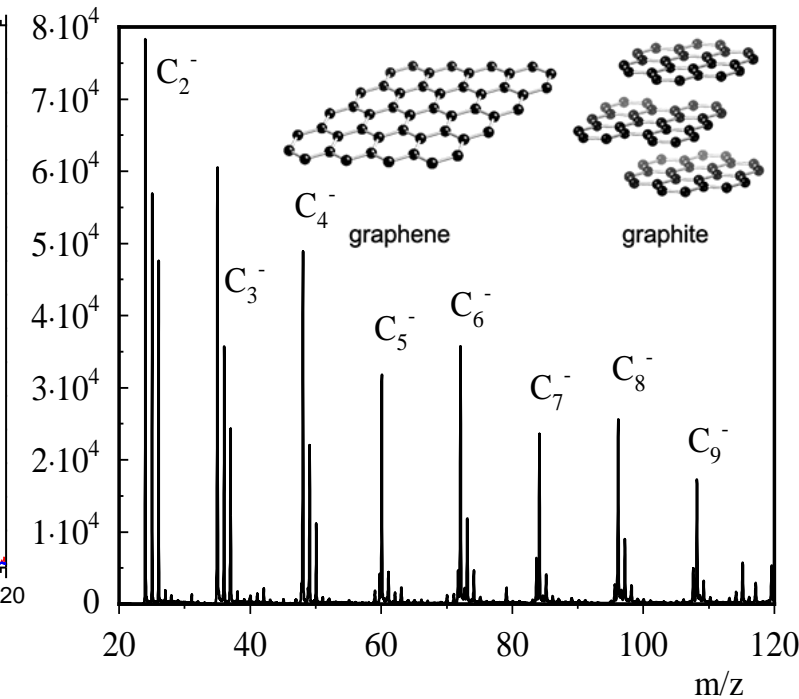
## MeV-TOF-SIMS



### Carbon on the surface of a fully conditioned Cu



### Graphene reference sample

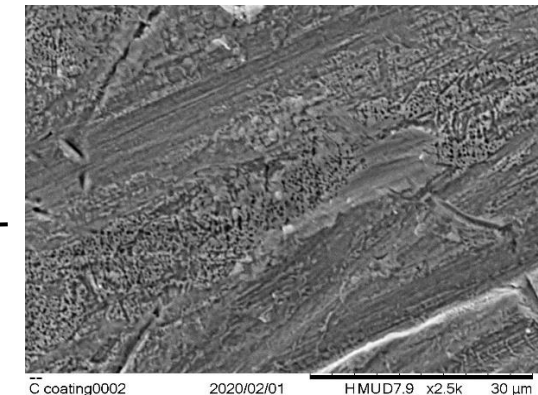
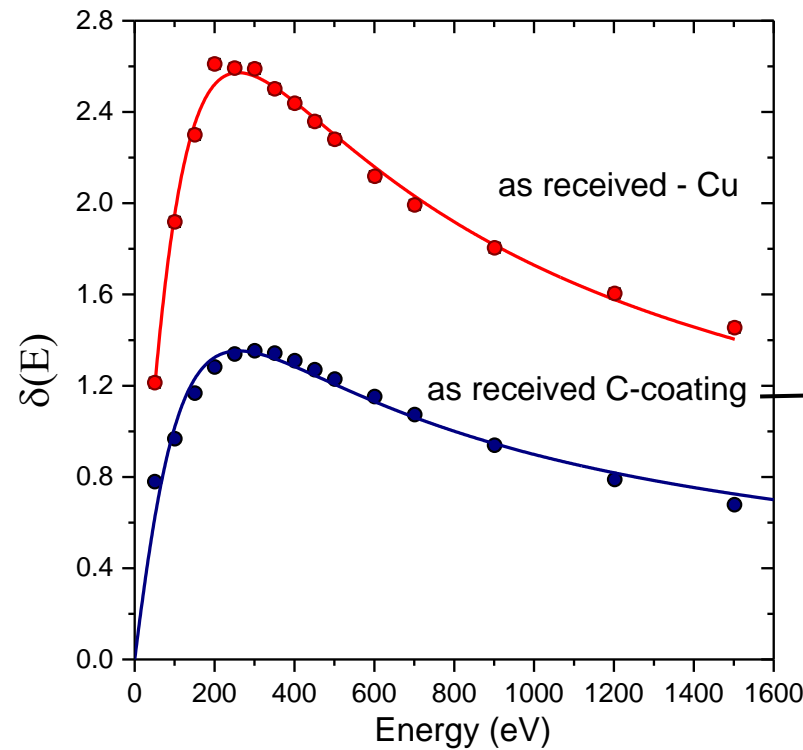


TOF-SIMS : a graphitic (graphene) carbon layer is formed on the surface of the fully conditioned sample (with a large amount of H).

→ Carbon from organic compounds initially present on the surface is transformed into a graphite layer (0.5 nm) by e- irradiation.



# Why does the presence of a carbon layer reduces the Cu-SEY?



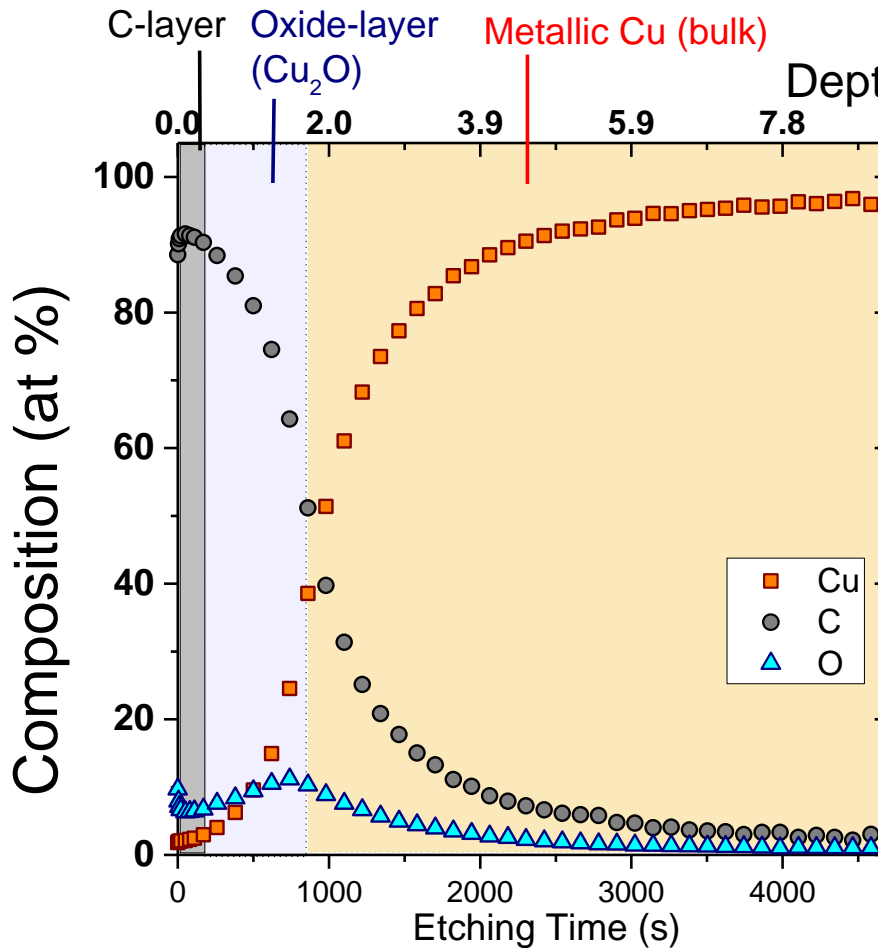
SEM image of C-coating

→ SEY of carbon is intrinsically lower than the one of copper

→ Carbon thin film deposited on Cu beam pipe walls is a solution to mitigate the electron cloud build up in the LHC  
[P. Pinto Costa, IPAC2014]



# Depth profiles of elements in a fully conditioned Cu by XPS analysis



- 1) A graphitic carbon layer is first detected at the extreme surface. The graphitic C layer contains O and H of  $\approx 0.5$  nm thick .
- 2) At a larger depth, the oxide layer ( $\text{Cu}_2\text{O}$ ) is observed of  $\approx 1.4$  nm thick.
- 3) The copper oxide disappeared and the metallic Cu is detected at a depth larger than 2 nm, and finally metallic Cu is present.

→ Does the presence of the oxide layer influence the SEY of Cu?



# Les développements actuels: Nettoyage Plasma

## Nouveau banc de test sur le Nettoyage plasma

O. Hryhorenko Postdoc Mavericks

E. Mistretta Plateforme V&S

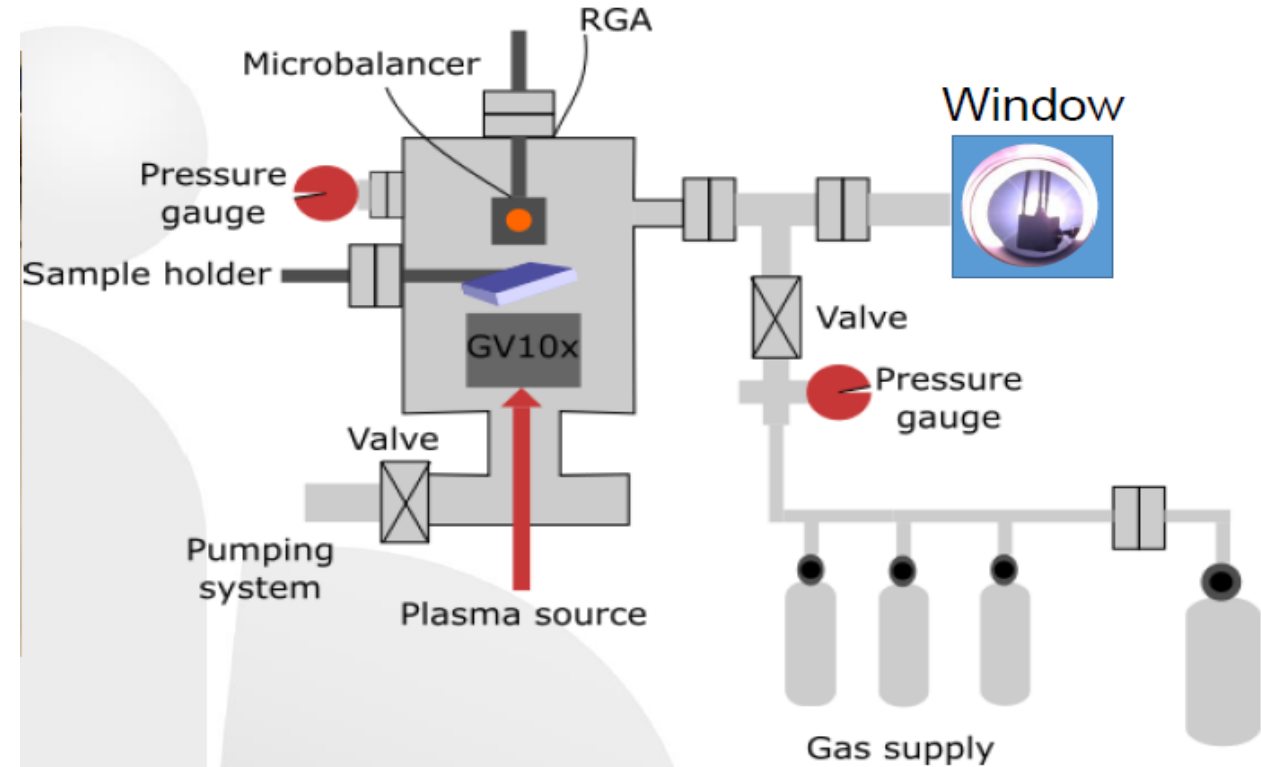


Source RF Plasma

F=13,56 MHz  
P= 0 à 100W



Application sur le nettoyage in situ des cavités supra RF de SPIRAL2



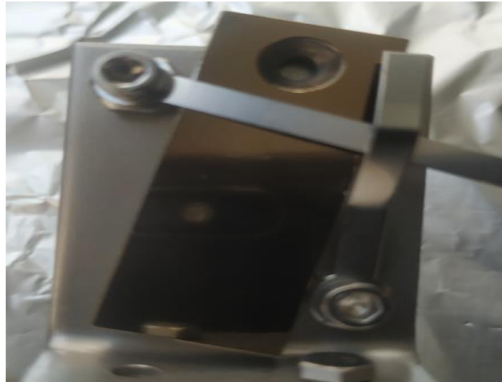


# Les développements actuels: Nettoyage Plasma

Des résultats préliminaires encourageants

O. Hryhorenko (Postdoc Mavericks)

Dépôt Carbone 40/50 nm sur Nb



Après nettoyage plasma

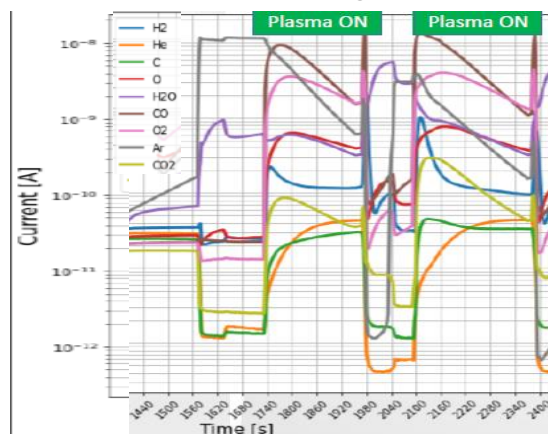


Neon  $P_{\text{inj}} = 10^{-1}$  mbar    $P = 100\text{W}$

Balance à Quartz



Analyse de gaz (RGA)



## Optimiser les différents paramètres

- La pression d'injection du gaz
- Nature et proportions du Mélange du gaz
- Distance canon plasma/échantillons
- Physico-chimie de surface
- Tests sur des cavités RF à IJCLAB



# Dépôts NEG Ti/Zr/V de faible épaisseur (100 nm)

Bâti dépôt NEG (Ti,Zr,V) de la plateforme V&S



J. Yemane stagiaire polytech  
G. Sattonnay, B. Mercier  
MAVERICS

E. Mistretta, F. Letellier  
Plateforme V&S

## Application envisagée sur FCC-ee

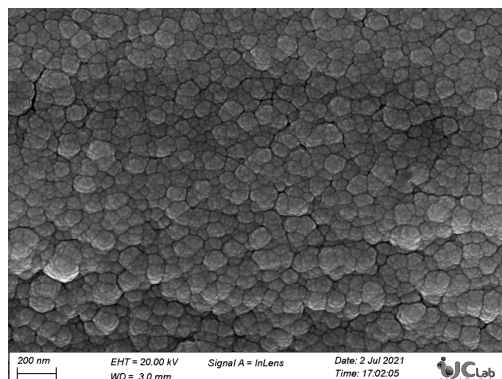
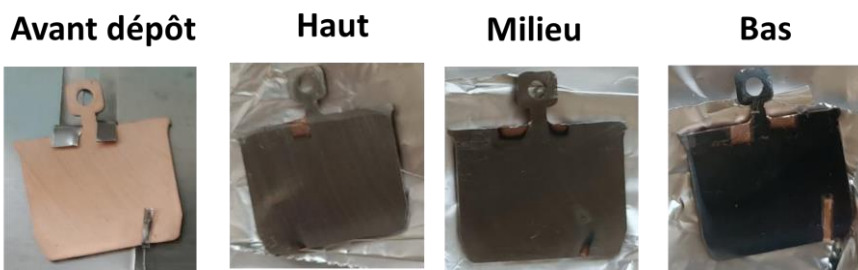
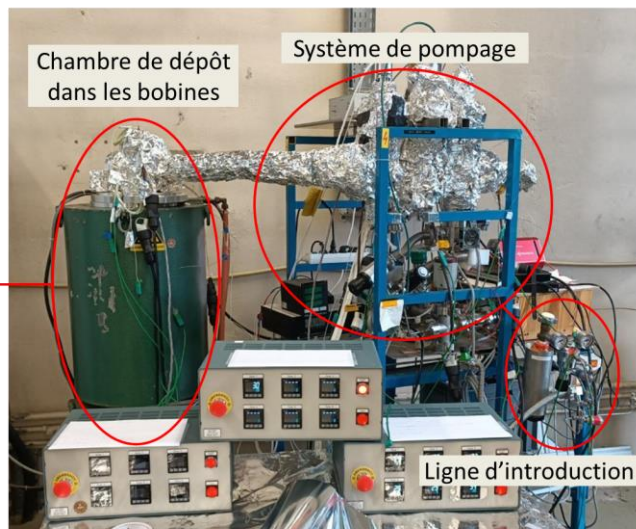
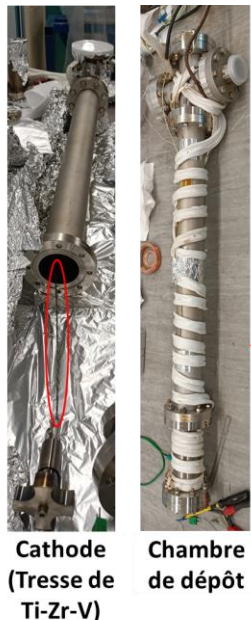
- Rayonnement synchrotron important  
Energie critique ~1,2Mev !!!  
Puissance déposée 650 W/m

## Caractéristique du dépôt à obtenir

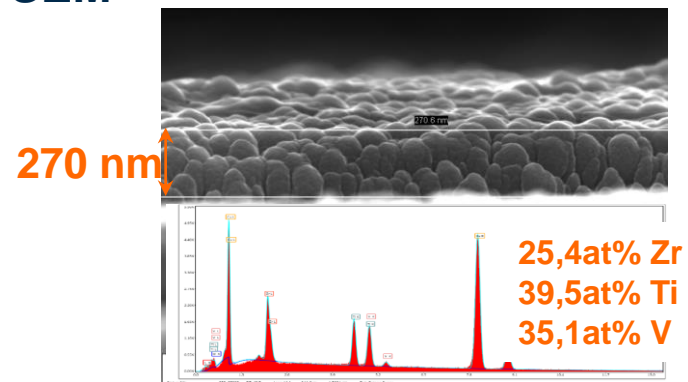
- Capacité de pompage importante (0,5 l/s/cm<sup>2</sup>@H<sub>2</sub>)
- Taux d'émission électronique faible (SEY<sub>max</sub> < 1,1)
- Désorption stimulée faible
- Faible impédance de la chambre



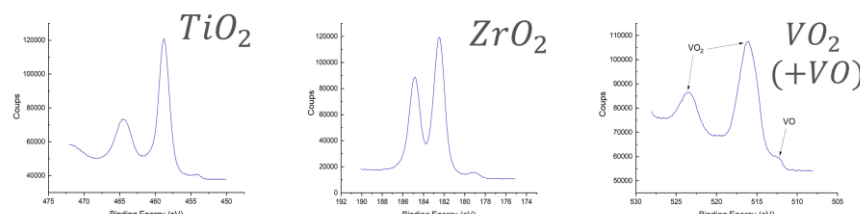
# NEG coating – preliminary results



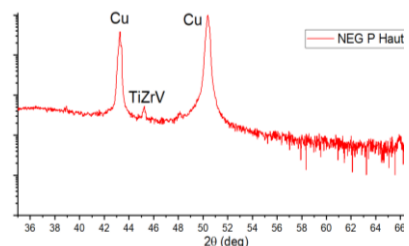
SEM



XPS



XRD





# Conclusion

AXES	Tasks	2021	2022	2023	2024	2025
Materials in thin films	Coating production (NEG, a-C, TiN...)					
	Structural characterization					
	Measurements of electron emission properties (multipacting/electron cloud)					
Innovative surface treatments for Nb cavities	nitrogen infusion experiment					
	Superconducting multilayers (S-I-S)					
	Polishing					
	Surface cleaning (plasma, UV)					
Dynamic vacuum	Measurements of the ion and electron stimulated desorption					
	Study of changes in surface properties induced by irradiation (conditioning)					
	Development of the simulation code DYVACS					
	Measurements at CERN-LHC (run 3)					
Development of the Platform « Vacuum and Surfaces »	Restarting of the coating set-up					
	SEM installation					
	Recovery of the ISIS Set-up (ICMMO)					
	Upgrade of the SEY set-up					
	Relocation of equipment in D3-D4					
	XPS+multitechnical set-up (PACIFICS)					



# Conclusion

## ➤ Ouverture de la plateforme

- CEA - IRFU
- Andromède / Scalp
- Pôle physique Nucléaire (NIM)
- Pôle Energie et environnement
- Fabrication additive ( FATI/ FABACC)

Site de réservation opérationnel  
<https://maverics.ijclab.in2p3.fr/>

The screenshot shows the homepage of the MAVERICS reservation platform. At the top, there's a navigation bar with the IJCLab logo, the text "MAVERICS Vide & surfaces", and links for "Equipe MAVERICS", "Plateforme Vide & Surfaces" (which is highlighted in orange), "Membres", and "Activités et événements". Below the navigation is a decorative banner featuring scientific illustrations like a particle accelerator, a magnet, and mathematical formulas. The main content area is titled "Visualisation de toutes les réservations" and displays a calendar for July 2021. The calendar grid shows various reservation slots in different colors (red, green, blue) corresponding to the four experimental stations listed on the left: "Réservation du MEB", "Réservation du SIMS", "Réservation du DRX", and "Réservation du Microscope cor...". The bottom right corner of the screenshot features logos for CNRS and Université Paris-Saclay.



**Merci de votre attention**